

# 第九章：离散傅里叶变换的计算

◆ 9.1 离散傅里叶变换的高效计算

◆ 9.2 Goertzel算法

◆ 9.3 按时间抽取的FFT算法

◆ 9.4 按频率抽取的FFT算法

◆ 9.5 实现问题考虑

◆ 9.6 用卷积实现DFT

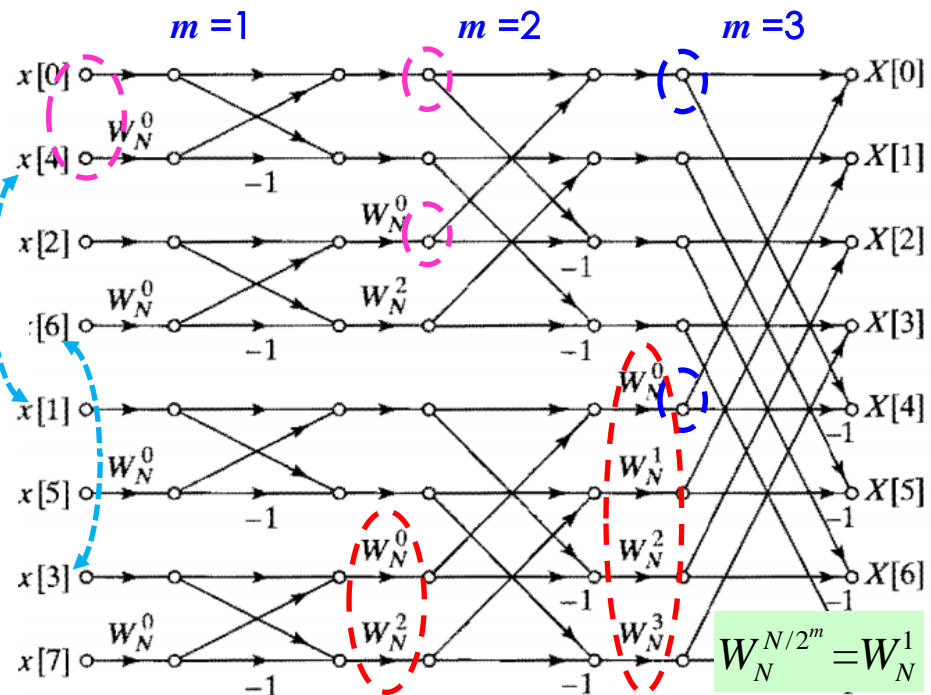
◆ 9.7 有限寄存器长度的影响

# 9.5.1 标号排序

某些DFT算法为实现同址运算，输入必须是倒位序，而输入序列通常不是倒位序，因此必须**对序列重排序**

每种算法都有其特有的排序问题

- 输入序列排序
- 中间值排序
- 系数排序
- 输出序列排序



图中输入序列的**顺位序**需重排为**倒位序**——可用两个计数器采用**同址方式**在**成对序号**间进行，即将**顺位序**计数器和**倒位序**计数器所指定的两个位置上的**数据互换**。

每级中的蝶形输入**间隔**不同，第 **$m$** 级的间隔为 $2^{m-1}$ ，（ $m=1, \dots, v$ ）。

第 **$m$** 级的系数为  $W_N^{N/2^m}$  的幂次方，从顶部开始为顺位序增加幂次



# 9.5.2 系数

## ◆ 系数的位序:

系数  $W_N^r$  可以要求是倒位序或顺位序

## ◆ 系数的生成:

### ➤ 查表法

需要存储  $r = 0, 1, \dots, N/2 - 1$  时的  $W_N^r$   
完整表由  $N/2$  个复寄存器构成

### ➤ 实时算法

每级系数为  $W_N^q$  的幂次, 其中  $q$  与算法与级数有关

第  $m$  级 ( $m=1, 2, 3$ ),  $q = N/2^m$

对于某级的顺位序系数, 第  $l$  个系数可由第  $(l-1)$  个系数递推获得

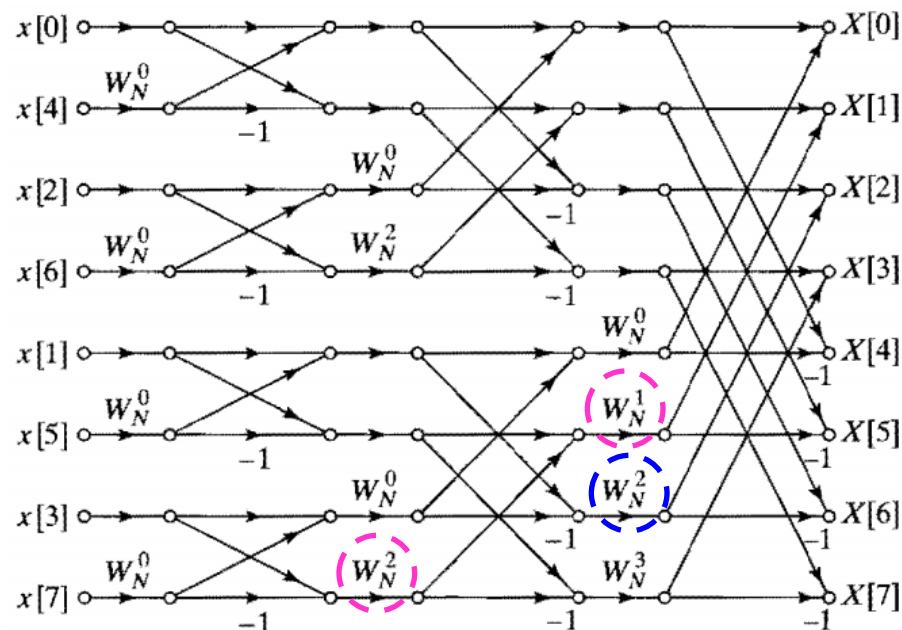
$$(W_N^q)^l = W_N^{ql} = W_N^q \cdot W_N^{q(l-1)}$$

上图中, 第3级 ( $q=1$ ) 的第  $l$  个系数为  $W_N^l = W_N^1 \cdot W_N^{(l-1)}$

✓ 该式不适用于倒位序系数的算法

✓ 有限精度计算时为避免迭代生成误差, 需重置预定点上的值

如  $W_N^{(N/4)} = -j$



## 9.5.3 更一般 $N$ 值时的算法

### ◆ 更一般的复合数 $N$ 的DFT算法

虽然 $N$ 为2的整数幂可得出高效的DFT算法，但**不是**减少DFT计算量的**唯一** $N$ 取值情况

当 $N$ 为**复合数**（两个或多个整数乘积）时，可采用**类似2的整数幂**情况的按时间或频率抽取算法

◆ 若 $N=RQ$ ，则可将 $N$ 点DFT表示为 **$R$ 个 $Q$ 点DFT之和**或 **$Q$ 个 $R$ 点DFT之和**

◆ 若 $N$ 为多个因子的积，则对**每个因子**均可**重复**上述过程

更一般的复合数 $N$ 点DFT的快速实现算法需要比2的整数幂情况**更复杂的序号排列**

# 9.5.3 更一般N值时的算法

## ◆ 复合数点DFT的分解(时间抽取)

设  $N = R_1 R_2 \cdots R_M$ ，令  $Q_1 = R_2 \cdots R_M$

则N点DFT第1次分解为  $N = R_1 Q_1$

即将N点DFT表示为  $R_1$  个  $Q_1$  点DFT

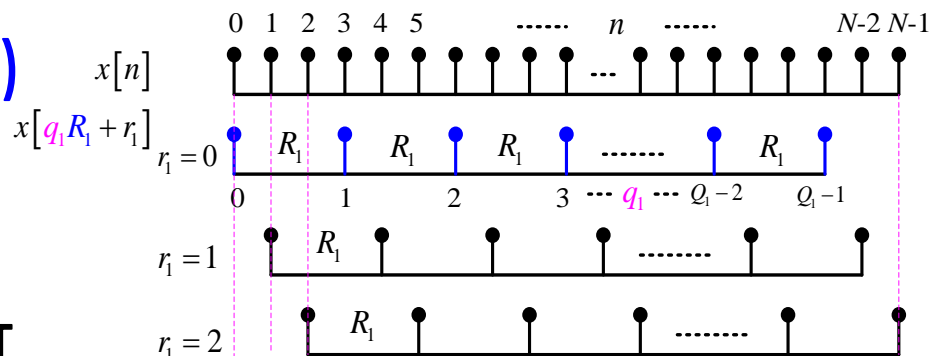
之和，需将输入的N点序列分解为  $R_1$  个长度为  $Q_1$  的子序列的组合，即输入序列可表示为

$$x[n] = x[q_1 R_1 + r_1], \quad q_1 = 0, \dots, Q_1 - 1; \quad r_1 = 0, \dots, R_1 - 1$$

第 $r_1$ 个  $Q_1$  点子序列由N点序列  $x[n]$  偏移  $r_1$  点后间隔  $R_1$  点抽取而得。

因此  $x[n]$  的N点DFT可表示为

$$\begin{aligned} X[k] &= \sum_{n=0}^{N-1} x[n] W_N^{kn} = \sum_{r_1=0}^{R_1-1} \sum_{q_1=0}^{Q_1-1} x[q_1 R_1 + r_1] W_N^{k(q_1 R_1 + r_1)} \\ &= \sum_{r_1=0}^{R_1-1} W_N^{kr_1} \sum_{q_1=0}^{Q_1-1} x[q_1 R_1 + r_1] W_N^{kq_1 R_1} \end{aligned}$$



# 9.5.3 更一般N值时的算法

## ◆ 复合数点DFT的分解 (续)

$$X[k] = \sum_{r_1=0}^{R_1-1} W_N^{kr_1} \sum_{q_1=0}^{Q_1-1} x[q_1 R_1 + r_1] W_N^{kq_1 R_1}$$

由于  $W_N^{kq_1 R_1} = W_{N/R_1}^{kq_1} = W_{Q_1}^{kq_1}$

$$\text{因此 } X[k] = \sum_{r_1=0}^{R_1-1} W_N^{kr_1} \sum_{q_1=0}^{Q_1-1} x[q_1 R_1 + r_1] W_{Q_1}^{kq_1} = \sum_{r_1=0}^{R_1-1} W_N^{kr_1} X_{Q_1}^{r_1}[k], \quad k=0, \dots, N-1$$

$$\text{其中 } X_{Q_1}^{r_1}[k] = \sum_{q_1=0}^{Q_1-1} x[q_1 R_1 + r_1] W_{Q_1}^{kq_1}, \quad k=0, \dots, Q_1-1; \quad r_1=0, \dots, R_1-1$$

为抽取的第  $r_1$  个子序列  $x[q_1 R_1 + r_1]$  的  $Q_1$  点DFT

这样， $N$ 点DFT分解为 $R_1$ 个 $Q_1$ 点DFT，分别按周期 $R_1$ 拓展后，再分别乘以系数  $W_N^{kr_1}$  的加权和。

采用相同的方法， $Q_1$ 点 ( $Q_1 = R_2 Q_2$ ) DFT可进一步分解为 $R_2$ 个 $Q_2$ 点DFT，其中  $Q_2 = R_3 \cdots R_M$ 。以此类推，直至不可分解为止。



# 9.5.3 更一般N值时的算法

## ◆ 例：N=9点DFT的分解为3个3点DFT时间抽取FFT实现

(1) 将输入的9点序列分解为 3个 ( $R_1=3$ ) 3点 ( $Q_1=3$ ) 子序列的组合，即

$$x[n] = x[q_1 R_1 + r_1] = x[q_1 3 + r_1], \quad q_1 = 0, \dots, 2; \quad r_1 = 0, \dots, 2$$

(2) 9点DFT的分解表达式

$$X[k] = \sum_{r_1=0}^{R_1-1} W_N^{kr_1} \sum_{q_1=0}^{Q_1-1} x[q_1 R_1 + r_1] W_{Q_1}^{kq_1}$$

$$X[k] = \sum_{n=0}^8 x[n] W_9^{kn} = \sum_{r_1=0}^2 W_9^{kr_1} \sum_{q_1=0}^2 x[3q_1 + r_1] W_3^{kq_1} = \sum_{r_1=0}^2 W_9^{kr_1} X_3^{r_1}[k], \quad k = 0, \dots, 8$$

(3) 3个3点DFT  $X_3^{r_1}[k]$ ,  $r_1 = 0, \dots, 2$ ;  $k = 0, \dots, 2$  的表达式

$r_1 = 0$	$r_1 = 1$	$r_1 = 2$
$X_3^0[0] = x[0] + x[3] + x[6]$	$X_3^1[0] = x[1] + x[4] + x[7]$	$X_3^2[0] = x[2] + x[5] + x[8]$
$X_3^0[1] = x[0] + x[3]W_3^1 + x[6]W_3^2$	$X_3^1[1] = x[1] + x[4]W_3^1 + x[7]W_3^2$	$X_3^2[1] = x[2] + x[5]W_3^1 + x[8]W_3^2$
$X_3^0[2] = x[0] + x[3]W_3^2 + x[6]W_3^4$	$X_3^1[2] = x[1] + x[4]W_3^2 + x[7]W_3^4$	$X_3^2[2] = x[2] + x[5]W_3^2 + x[8]W_3^4$





# 9.5.3 更一般N值时的算法

## ◆ 例：N=9点FFT实现（续）

### (4) 9点DFT的各值表达式

$$\text{由 } X[k] = \sum_{r_1=0}^2 W_9^{kr_1} X_3^{r_1}[k], \quad k=0, \dots, 8$$

$$\begin{aligned} X[0] &= X_3^0[0] + X_3^1[0] + X_3^2[0] \\ X[1] &= X_3^0[1] + W_9^1 X_3^1[1] + W_9^2 X_3^2[1] \\ X[2] &= X_3^0[2] + W_9^2 X_3^1[2] + W_9^4 X_3^2[2] \end{aligned}$$

$$X[3] = X_3^0[0] + W_9^3 X_3^1[0] + W_9^6 X_3^2[0]$$

$$X[4] = X_3^0[1] + W_9^4 X_3^1[1] + W_9^8 X_3^2[1]$$

$$X[5] = X_3^0[2] + W_9^5 X_3^1[2] + W_9^{10} X_3^2[2]$$

$$X[6] = X_3^0[0] + W_9^6 X_3^1[0] + W_9^{12} X_3^2[0]$$

$$X[7] = X_3^0[1] + W_9^7 X_3^1[1] + W_9^{14} X_3^2[1]$$

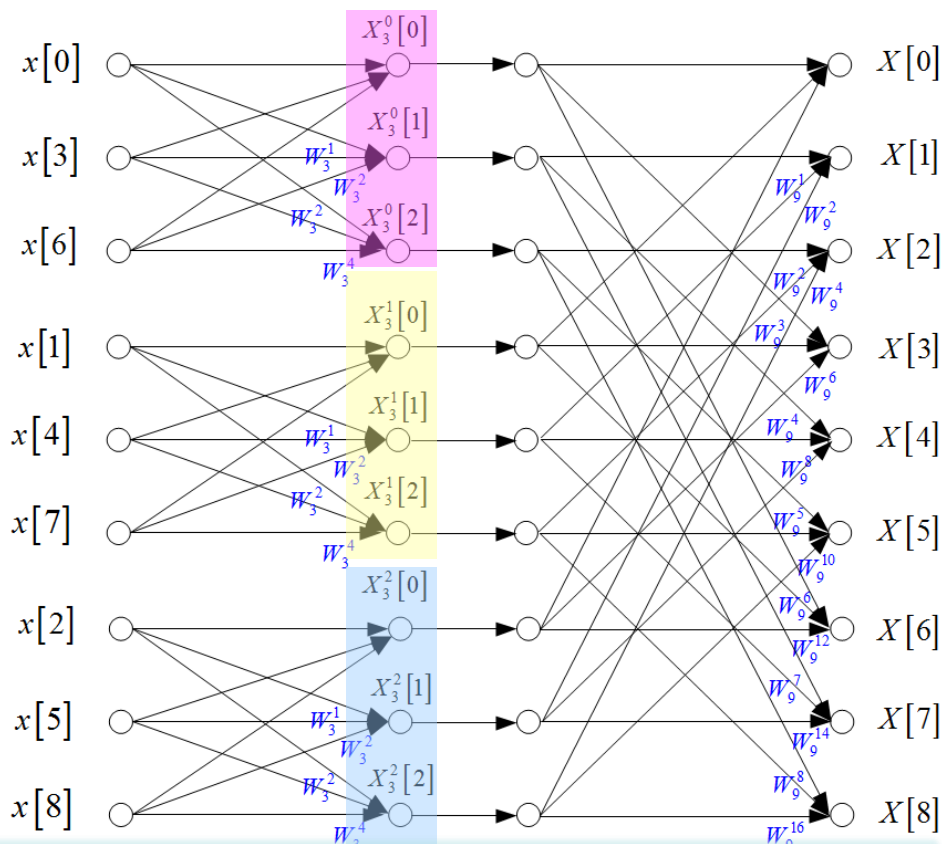
$$X[8] = X_3^0[2] + W_9^8 X_3^1[2] + W_9^{16} X_3^2[2]$$

$$X_3^0[0] = x[0] + x[3] + x[6]$$

$$X_3^0[1] = x[0] + x[3]W_3^1 + x[6]W_3^2$$

$$X_3^0[2] = x[0] + x[3]W_3^2 + x[6]W_3^4$$

### (5) 9点DFT的FFT实现信流图



9点DFT分解后所需复乘数仅为**9x2次**，显著低于直接法的**81次**。





## 9.5.4 IDFT的快速算法 (IFFT)

### ◆ 由FFT的结构通过改变系数获得IFFT

由IDFT和DFT定义

$$x[n] = IDFT\{X[k]\} = \frac{1}{N} \sum_{k=0}^{N-1} X[k] W_N^{-kn}$$

$$X[k] = DFT\{x[n]\} = \sum_{n=0}^{N-1} x[n] W_N^{kn}$$

IDFT和DFT的计算方法只相差指数  $W_N^{-kn}$  的幂次符号和系数  $1/N$ 。

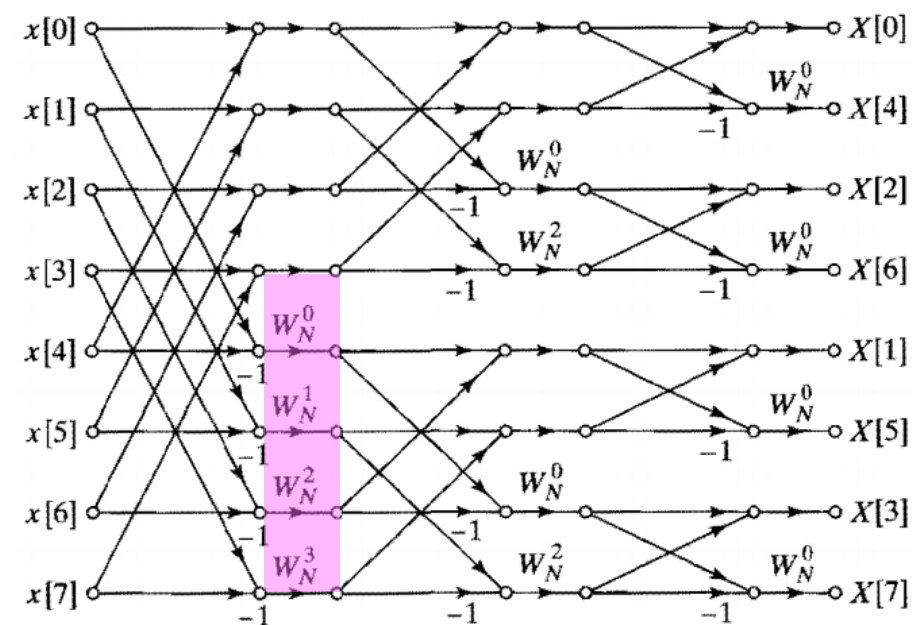
将基序列取共轭  $W_N^{kn} \rightarrow W_N^{-kn}$ ，再乘以常数  $1/N$ ，即可由  $FFT \rightarrow IFFT$ 。

# 9.5.4 IDFT的快速算法 (IFFT)

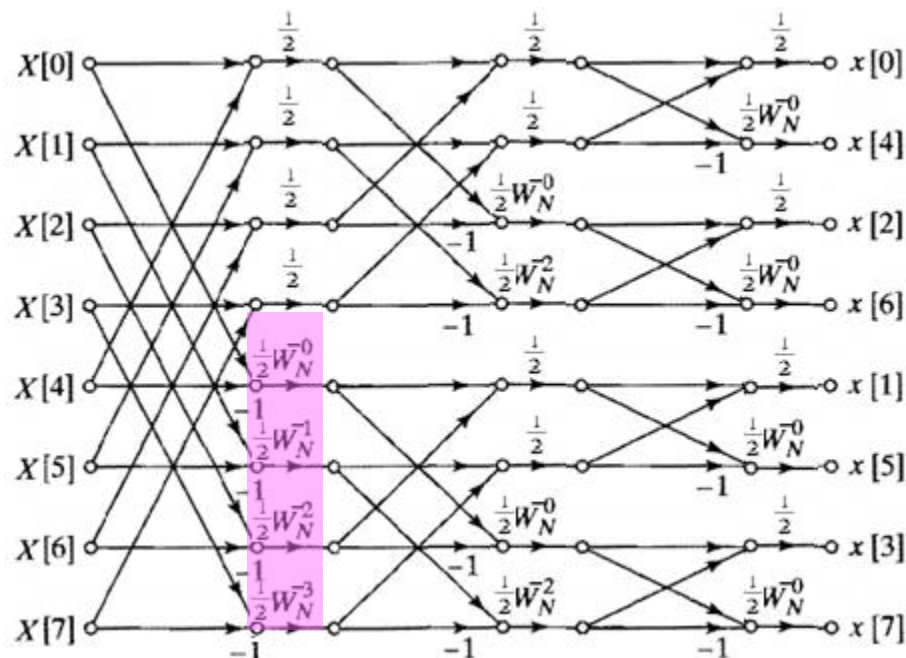
## ◆ 由FFT的实现流图直接获得IFFT的实现流图

由频率抽取的FFT流图，各蝶形计算变更如下

- 所有系数取共轭， $W_N^r \rightarrow W_N^{-r}$
- 各级节点输出再乘上系数 $1/2$
- 输入 $x[n]$ 与输出 $X[k]$ 互换。



按频率抽取8点FFT完整流图



按时间抽取8点IFFT完整流图

IFFT输出时域序列 $x[n]$ 是按奇偶分组计算，等效为时间抽取

# 第九章：离散傅里叶变换的计算

- ◆ 9.1 离散傅里叶变换的高效计算
- ◆ 9.2 Goertzel算法
- ◆ 9.3 按时间抽取的FFT算法
- ◆ 9.4 按频率抽取的FFT算法
- ◆ 9.5 实现问题考虑
- ◆ 9.6 用卷积实现DFT
- ◆ 9.7 有限寄存器长度的影响

## 9.6.2 线性调频变换算法

令  $x[n]$  表示一个  $N$  点序列,  $X(e^{j\omega})$  表示其傅里叶变换。  
则  $X(e^{j\omega})$  在单位圆上等角度间隔排列的  $M$  个样本可表示为

$$X(e^{j\omega_k}) = \sum_{n=0}^{N-1} x[n] e^{-j\omega_k n}, \quad k = 0, 1, \dots, M-1$$

其中

$$\omega_k = \omega_0 + k\Delta\omega, \quad k = 0, 1, \dots, M-1$$

起始频率  $\omega_0$  与频率增量  $\Delta\omega$   
可任意选取。

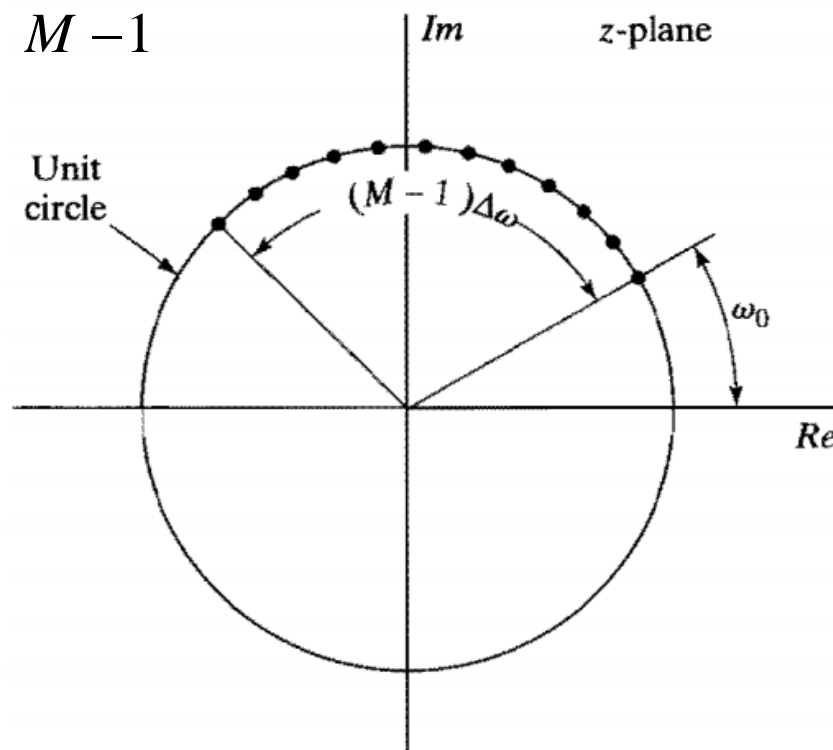
对于傅里叶变换,  $\omega_0 = 0$ ,

$$\Delta\omega = 2\pi / N, \quad M = N。$$

若定义  $W = e^{-j\Delta\omega}$ , 则

$M$  个样本可表示为

$$X(e^{j\omega_k}) = \sum_{n=0}^{N-1} x[n] e^{-j\omega_0 n} W^{kn}, \quad k = 0, 1, \dots, M-1$$



## 9.6.2 线性调频变换算法

利用恒等式  $nk \equiv \frac{1}{2} \left[ n^2 + k^2 - (k-n)^2 \right]$

$$X(e^{j\omega_k}) = \sum_{n=0}^{N-1} x[n] e^{-j\omega_0 n} W^{kn}$$

$M$ 个样本为  $X(e^{j\omega_k}) = \sum_{n=0}^{N-1} x[n] e^{-j\omega_0 n} W^{n^2/2} W^{k^2/2} W^{-(k-n)^2/2}$

若令  $g[n] = x[n] e^{-j\omega_0 n} W^{n^2/2}$ ，其中  $W^{n^2/2}$  为线性调频信号（序列）

$M$ 个样本简化为

$$X(e^{j\omega_k}) = W^{k^2/2} \sum_{n=0}^{N-1} g[n] W^{-(k-n)^2/2}, \quad k = 0, 1, \dots, M-1$$

或

$$X(e^{j\omega_n}) = W^{n^2/2} \sum_{k=0}^{N-1} g[k] W^{-(n-k)^2/2}$$

$$= W^{n^2/2} g[n] * W^{-n^2/2}, \quad n = 0, 1, \dots, M-1$$

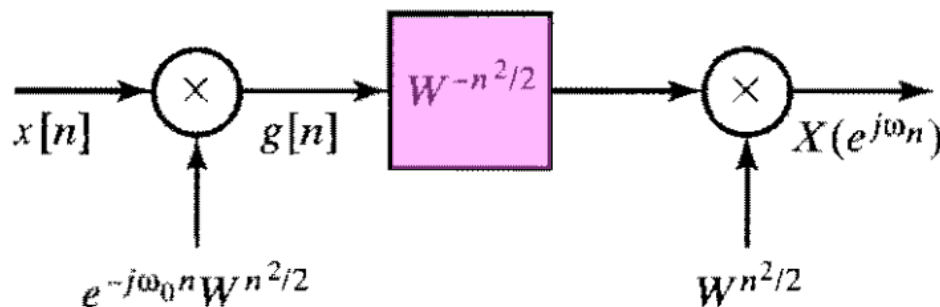
序列  $x[n]$  的傅里叶变换的  $M$  个采样值  $X(e^{j\omega_k})$  等效为序列  $x[n]$  与线性调频序列  $e^{-j\omega_0 n} W^{n^2/2}$  相乘后，与序列  $W^{-n^2/2}$  卷积输出的  $M$  个值，再与序列  $W^{n^2/2}$  矢量乘积。

## 9.6.2 线性调频变换算法

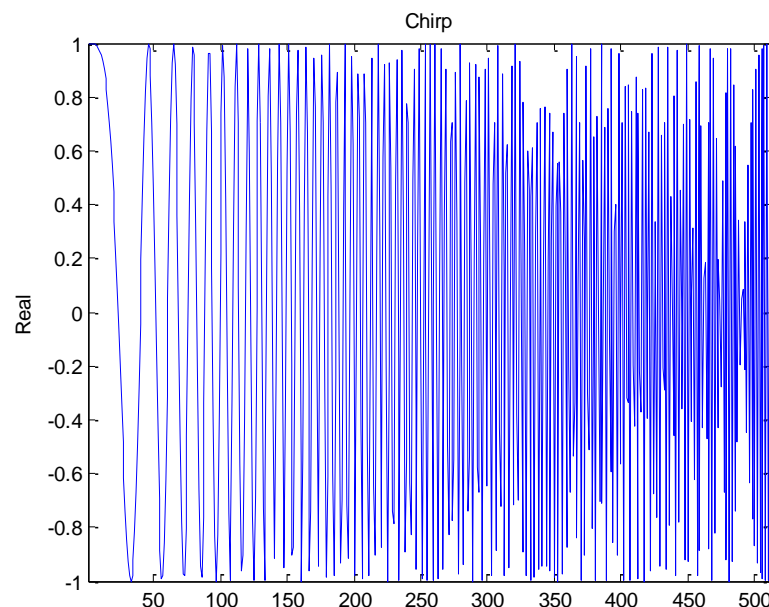
### ◆ 线性调频变换算法实现模型

由卷积过程  $X(e^{j\omega_n}) = W^{n^2/2} g[n] * W^{-n^2/2}, \quad n = 0, 1, \dots, M-1$

可得线性调频变换算法实现框图如下



由于序列  $W^{-n^2/2} = e^{j\Delta\omega n^2/2}$  是频率以间隔  $n\Delta\omega$  线性增加的复指数序列，在雷达系统中这种信号称为线性调频信号（Chirp），因此该方法称为线性调频变换。



## 9.6.2 线性调频变换算法

### ◆ 线性调频变换算法实现模型 (2)

由于  $g[n]$  为有限长序列, 获得  $g[n] * W^{-n^2/2}$  在区间  $n = 0, \dots, M-1$  内的输出仅需用序列  $W^{-n^2/2}$  在区间  $n = -(N-1), \dots, 0, \dots, M-1$  上的样本。

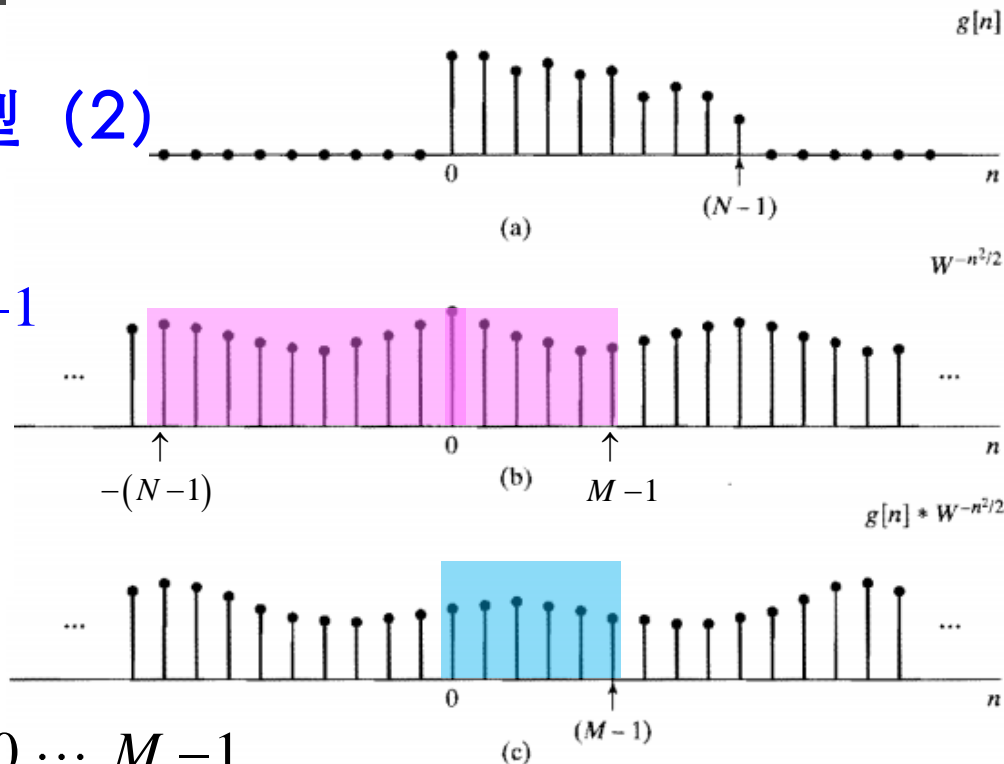
定义一个有限脉冲响应

$$h[n] = \begin{cases} W^{-n^2/2}, & n = -(N-1), \dots, 0, \dots, M-1 \\ 0, & \text{其它} \end{cases}$$

$h[n]$  非因果

因此

$$g[n] * W^{-n^2/2} = g[n] * h[n], \quad n = 0, \dots, M-1$$



线性调频变换算法涉及的序列

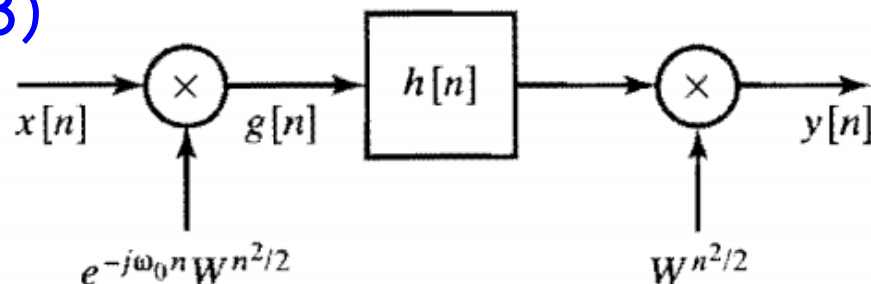


## 9.6.2 线性调频变换算法

### ◆ 线性调频变换算法实现模型 (3)

用有限长脉冲响应  $h[n]$  代替无限脉冲响应  $W^{-n^2/2}$ ，线性调频变换可简化如右图，傅里叶变换输出采样值可表示为

$$X(e^{j\omega_n}) = y[n], \quad n = 0, 1, \dots, M-1$$



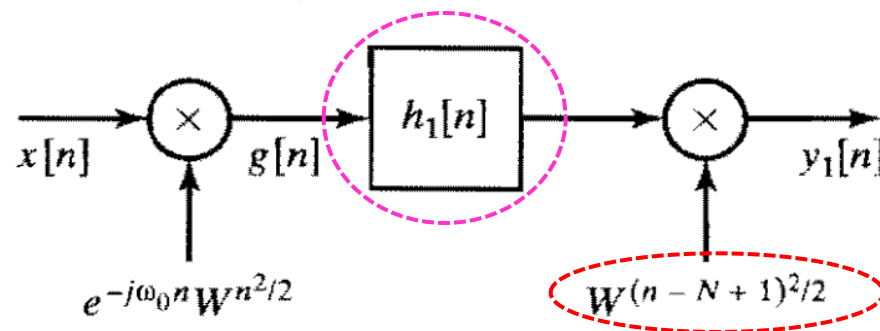
有限长脉冲响应线性调频变换系统框图

通过延迟非因果脉冲响应  $h[n]$  可得因果脉冲响应

$$h_1[n] = h[n - (N-1)] = \begin{cases} W^{-(n-N+1)^2/2}, & n = 0, 1, \dots, M+N-2 \\ 0, & \text{其它} \end{cases}$$

傅里叶变换的采样值可表示为

$$X(e^{j\omega_n}) = y[n] = y_1[n + N - 1], \quad n = 0, 1, \dots, M-1$$



因果有限长脉冲响应线性调频变换系统框图

## 9.6.2 线性调频变换算法

### ◆ 线性调频变换与DFT的关系

当要计算的频率样本与DFT一致时，线性调频变换算法可进行简化

令  $\omega_0 = 0$ ， $M = N$ ， $\Delta\omega = 2\pi / N$ ， $W = e^{-j2\pi/N} = W_N$ ，

若  $N$  为偶数，且由  $W_N^N = e^{-j2\pi} = 1$ ，则有

$$W_N^{-(n-N)^2/2} = W_N^{-n^2/2}$$

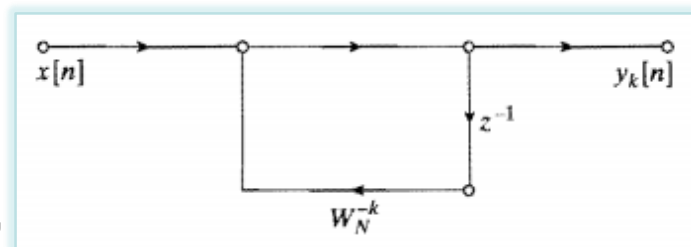
因果脉冲响应  $h_1[n]$  附加**额外单位延迟**后，

$$h_2[n] = h[n - N] = \begin{cases} W_N^{-(n-N)^2/2} = W^{-n^2/2}, & n = \\ 0, \end{cases}$$

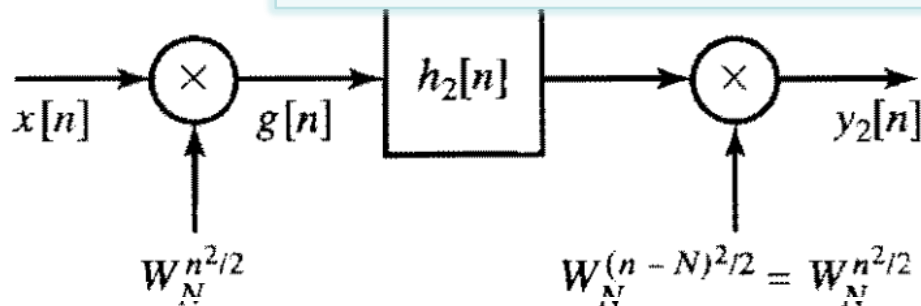
此时傅里叶变换输出采样值为

$$X(e^{j2\pi n/N}) = y[n] = y_2[n + N]$$

$$, \quad n = 0, 1, \dots, M - 1$$



Goertzel算法对应的系统脉冲响应为  $W_N^{-kn}u[n]$ ，每个系统的输出为**单个DFT输出值**



可得出DFT样本的线性调频变换系统框图

## 9.6.2 线性调频变换算法

### ◆ 示例：线性调频变换的参数选择

假设有限长序列  $x[n]$  仅在区间  $n=0, \dots, 25$  上为非零，且要计算频点  $\omega_k = 2\pi/27 + 2\pi k/1024$ ,  $k=0, \dots, 15$  上DTFT  $X(e^{j\omega})$  处16个样本

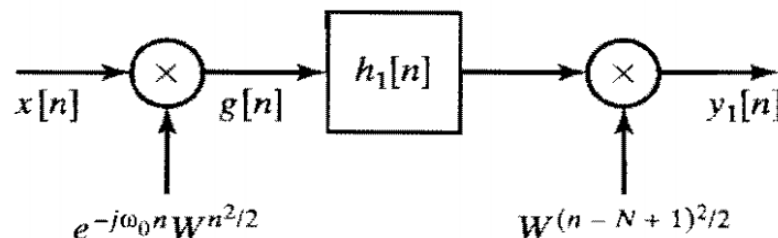
选择右图线性调频变换系统的参数，即可通过卷积获得要求频点上的值

设所求样本个数  $M=16$ ,  
序列长度  $N=26$ ,  
样本的起始频率  $\omega_0 = 2\pi/27$ ,  
频率增量  $\Delta\omega = 2\pi/1024$

由 (9.48) 式可得因果脉冲响应为

$$h_1[n] = \begin{cases} \left(e^{-j2\pi/1024}\right)^{-(n-25)^2/2}, & n=0, 1, \dots, 40 \\ 0, & \text{其它} \end{cases}$$

$$h_1[n] = W^{-(n-N+1)^2/2}, n=0, 1, \dots, M+N-2$$
$$W = e^{-j\Delta\omega}$$



因果有限长脉冲响应线性调频变换系统框图

DTFT采样值可表示为

$$X(e^{j\omega_n}) \Big|_{\omega_n = 2\pi/27 + 2\pi n/1024} = y_1[n+25]$$
$$, \quad n=0, 1, \dots, 15$$

线性调频算法对输入序列长度远小于DFT点数和存在起始频偏的DFT计算非常有效。



# 第九章：离散傅里叶变换的计算

◆ 9.1 离散傅里叶变换的高效计算

◆ 9.2 Goertzel算法

◆ 9.3 按时间抽取的FFT算法

◆ 9.4 按频率抽取的FFT算法

◆ 9.5 实现问题考虑

◆ 9.6 用卷积实现DFT

◆ 9.7 有限寄存器长度的影响

# 9.7 有限寄存器长度的影响

## ◆ DFT计算舍入量化线性噪声模型

对于基2按时间抽取的 $N$ 点DFT算法，第 $m$ 级蝶形计算可表示为

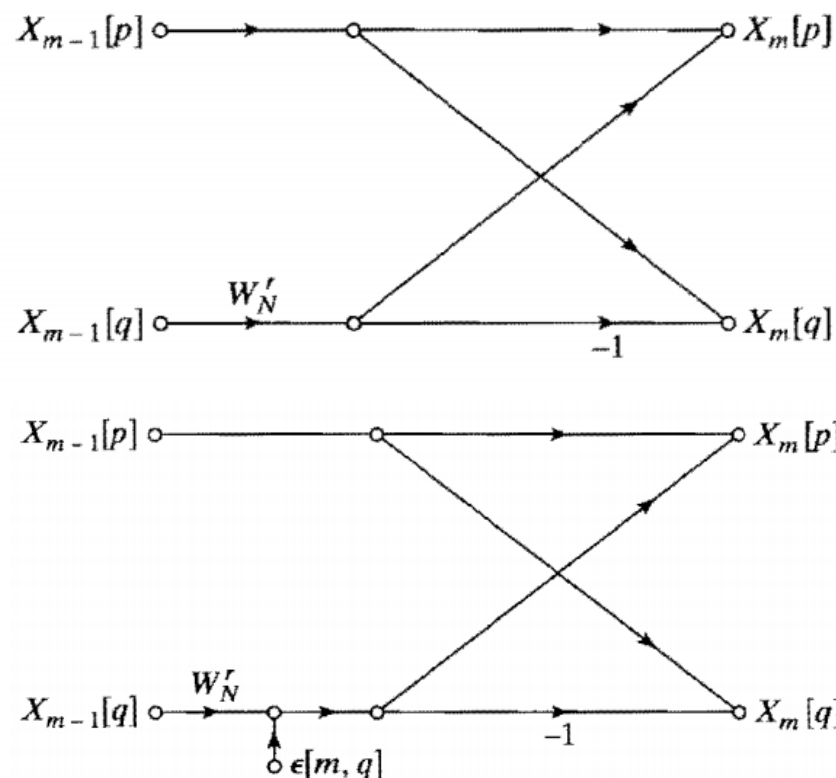
$$X_m[p] = X_{m-1}[p] + W_N^r X_{m-1}[q]$$

$$X_m[q] = X_{m-1}[p] - W_N^r X_{m-1}[q]$$

其中  $X_{m-1}[l]$  和  $X_m[l]$  分别为第 $m$ 级计算的输入和输出数列，

$$l = 0, 1, \dots, N-1; \quad m = 1, 2, \dots, v$$

把定点乘法运算与加性噪声发生器联系在一起建立舍入噪声模型



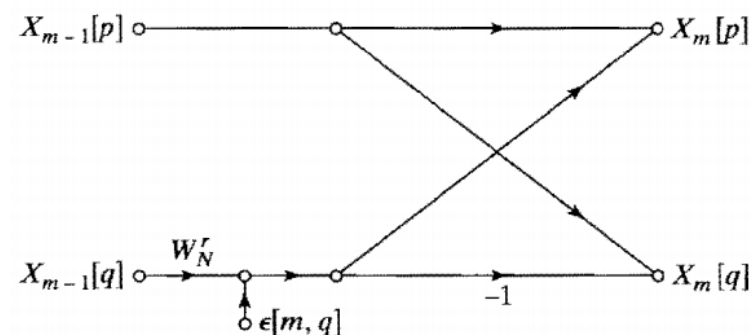
$\epsilon(m, q)$  表示在由第 $(m-1)$ 级数列计算第 $m$ 级数列的第 $q$ 个元素与复系数相乘的结果进行量化时所产生的误差。

# 9.7 有限寄存器长度的影响

## ◆ DFT计算舍入量化线性噪声模型（续）

假设FFT输入为复序列，每次复乘由4个实乘组成，每个实数乘法器舍入量化（ $B+1$ 比特带符号）产生的误差有下列性质：

- 1、误差是在  $\pm(1/2) \times 2^{-B}$  区间上均匀分布的随机变量，每个实噪声源的方差为  $2^{-2B}/12$ 。
- 2、误差相互之间不相关。
- 3、误差与输入和输出序列不相关



由于4个误差序列为互不相关零均值白噪声，且方差相同，则复乘法器量化误差方差为

$$\mathcal{E} \left\{ \left| \epsilon(m, q) \right|^2 \right\} = 4 \cdot \frac{2^{-2B}}{12} = \frac{1}{3} \cdot 2^{-2B} = \sigma_B^2$$

# 9.7 有限寄存器长度的影响

## ◆ DFT计算流图结构特点

1. 流图中任一节点到相连的其它任一节点的传递函数均与单位幅度的(复)常数相乘。

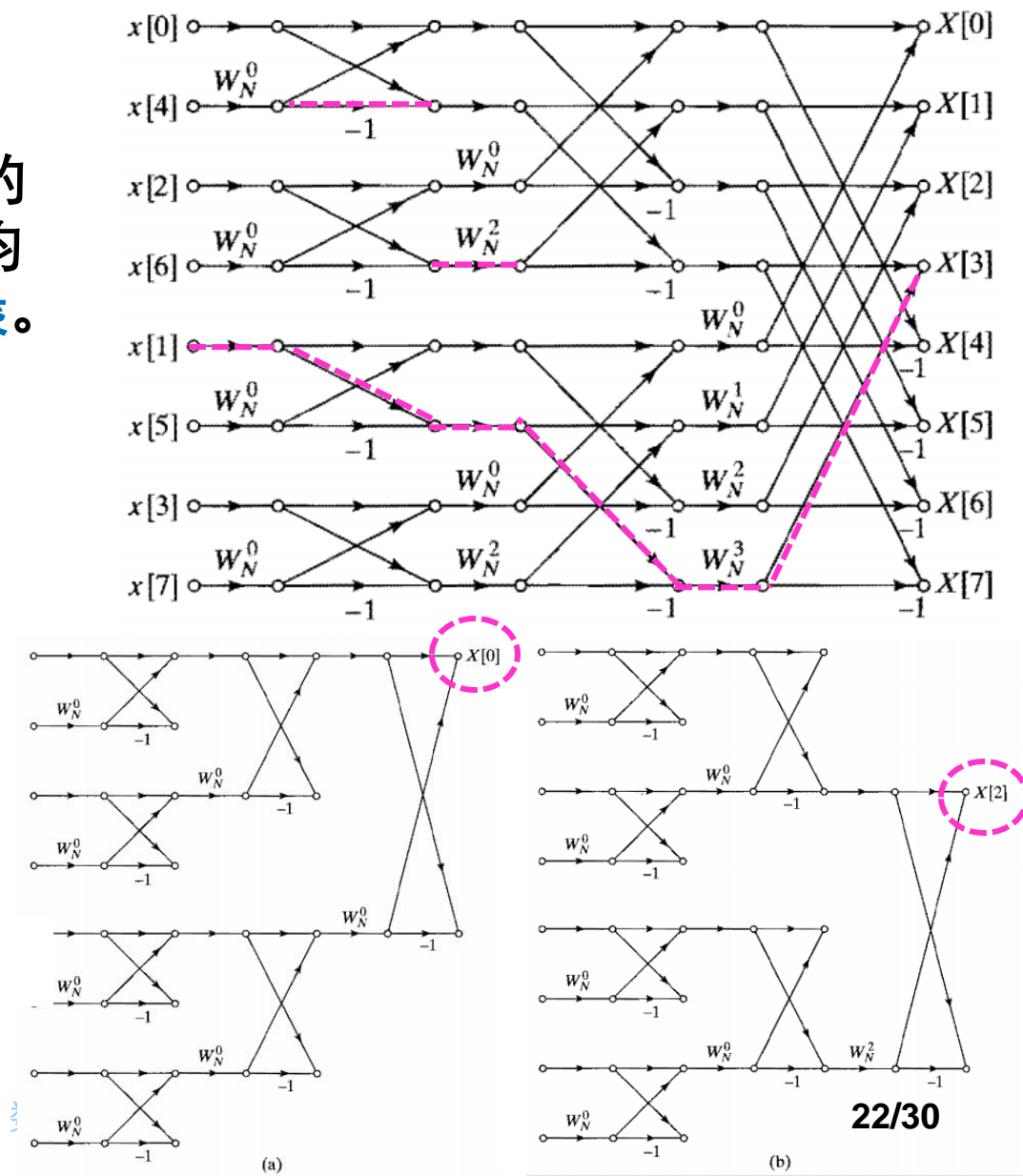
2. 每个输出节点均与 $(N-1)$ 个蝶形相连接。

由于每个蝶形至多引入1个复噪声源，且噪声源相互独立，则第 $k$ 个DFT值输出量化噪声均方值上限为

$$\mathcal{E} \left\{ |F[k]|^2 \right\} = (N-1) \sigma_B^2$$

当 $N$ 较大时，可近似为

$$\mathcal{E} \left\{ |F[k]|^2 \right\} \approx N \sigma_B^2$$





# 9.7 有限寄存器长度的影响

## ◆ DFT计算节点避免溢出条件

由第 $m$ 级蝶形计算关系

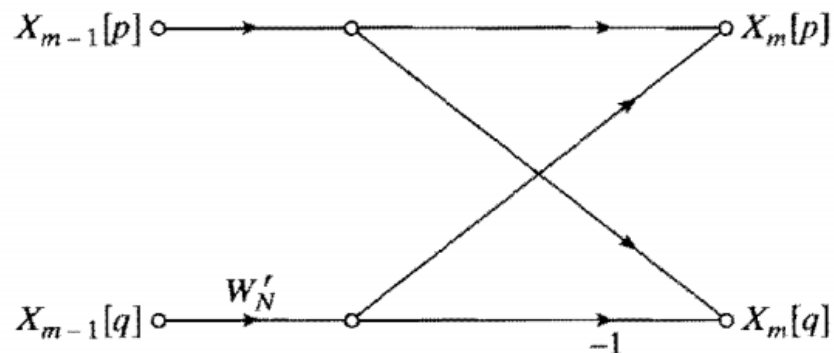
$$X_m[p] = X_{m-1}[p] + W_N^r X_{m-1}[q]$$

$$X_m[q] = X_{m-1}[p] - W_N^r X_{m-1}[q]$$

可得

$$\max(|X_{m-1}[p]|, |X_{m-1}[q]|) \leq \max(|X_m[p]|, |X_m[q]|)$$

$$\max(|X_m[p]|, |X_m[q]|) \leq 2 \max(|X_{m-1}[p]|, |X_{m-1}[q]|)$$



由于蝶形计算输出的最大幅度**逐级非递减**（**后级不低于前级**），若要FFT**最终输出幅度小于1**，则各节点幅度必小于1，即**任一数列均不会溢出**。

## 9.7 有限寄存器长度的影响

### ◆ DFT计算节点避免溢出条件（续）

由DFT的定义可得

$$|X[k]| = \left| \sum_{n=0}^{N-1} x[n] W_N^{kn} \right| \leq \sum_{n=0}^{N-1} |x[n]|, \quad 0 \leq k \leq N-1$$

因此，保证FFT输出不溢出，即

$$|X[k]| < 1, \quad 0 \leq k \leq N-1$$

的充分必要条件是输入序列幅度满足

$$|x[n]| < 1/N, \quad 0 \leq n \leq N-1$$

# 9.7 有限寄存器长度的影响

## ◆ DFT算法（量化）输出噪声—信号比

$$\begin{aligned} |x[n]| < 1/N &\rightarrow |x[n]|^2 < 1/N^2 \\ |\operatorname{Re}\{x[n]\}|^2 = |\operatorname{Im}\{x[n]\}|^2 &< 1/2N^2 \\ |\operatorname{Re}\{x[n]\}| = |\operatorname{Im}\{x[n]\}| &< 1/\sqrt{2}N \end{aligned}$$

假设输入序列值为互不相关复序列，序列值的实部和虚部也不相关，且实部和虚部的幅度密度在  $\pm 1/(\sqrt{2}N)$  之间均匀分布

则复输入序列的均方值为

$$\mathcal{E}\{|x[n]|^2\} = \frac{1}{3N^2} = \sigma_x^2$$

$$\sigma_x^2 = 2 \cdot \int_{-1/\sqrt{2}N}^{1/\sqrt{2}N} x_r^2 \frac{N}{\sqrt{2}} dx_r$$

由DFT的定义式

$$X[k] = \sum_{n=0}^{N-1} x[n] W_N^{kn}$$

幅度密度

则FFT输出信号的均方值为

$$\mathcal{E}\{|X[k]|^2\} = \sum_{n=0}^{N-1} \mathcal{E}\{|x[n]|^2\} |W_N^{kn}|^2 = N\sigma_x^2 = \frac{1}{3N}$$

要保持噪信比不变，若N增加1倍（N增为2N），需要位宽B增加1位

最终FFT输出噪声-信号比为

$$\mathcal{E}\{|F[k]|^2\} / \mathcal{E}\{|X[k]|^2\} = N\sigma_B^2 / (N\sigma_x^2) = 3N^2\sigma_B^2 = N^2 2^{-2B}$$



# 9.7 有限寄存器长度的影响

## ◆ DFT算法输入信号比例改变方法

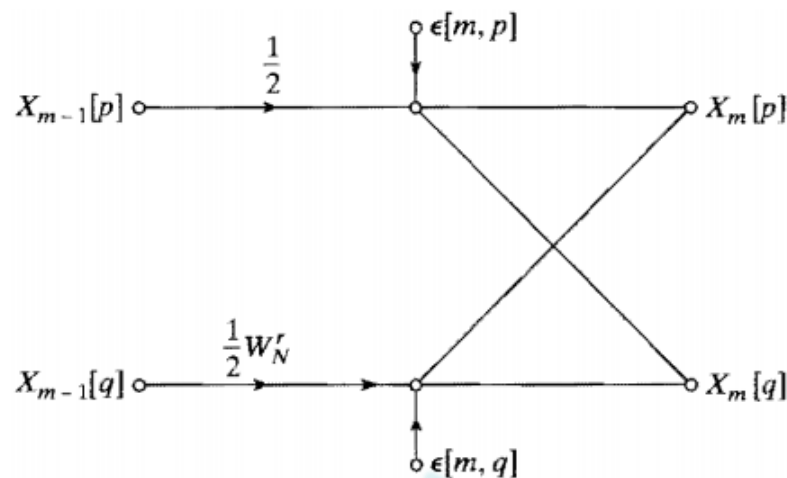
由于FFT计算从上一级到下一级最大幅度至多增加一倍，只要  $|x[n]| < 1$  并且在每一级的输入加入1/2的衰减就可防止溢出

若每个蝶形输入端加入1/2的比例因子，舍入噪声模型如右图

假设噪声源实部和虚部不相关，且各部分在  $\pm(1/2)2^{-B}$  之间均匀分布

则复噪声的方差为

$$\mathcal{E} \left\{ |\varepsilon(m, q)|^2 \right\} = \mathcal{E} \left\{ |\varepsilon(m, p)|^2 \right\} = \sigma_B^2 = \frac{1}{3} \cdot 2^{-2B}$$



噪声信号叠加于  
1/2衰减之后，  
因此会降低SNR



# 9.7 有限寄存器长度的影响

## ◆ DFT算法蝶形输入加比例因子的噪声模型特性

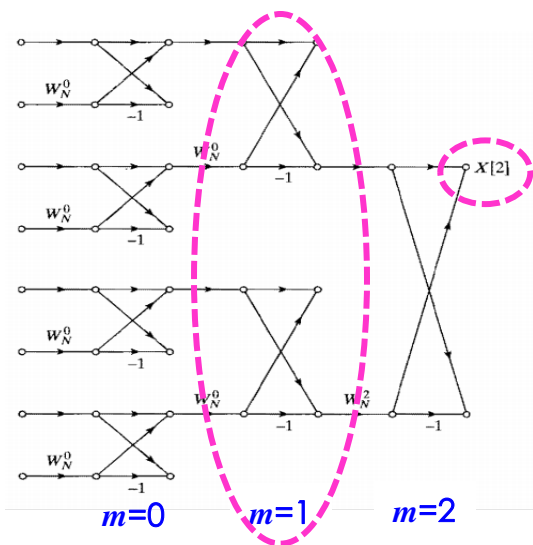
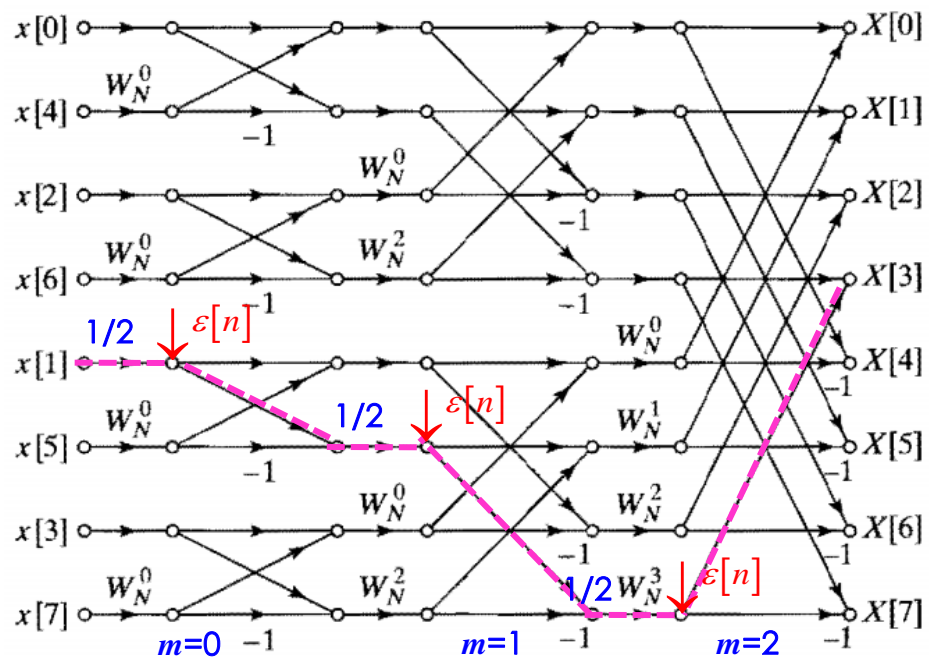
每个噪声源经历整个流图时所受到的衰减与该噪声源**最初所在的数列**有关

起始于第 $m$ 列的噪声源传播至输出端时**所乘常数**为  $(1/2)^{v-m-1}$

对于 $N=8$ 的FFT，每个输出节点**连接的蝶形**：

- ✓ 起始于第  $(v-1)$  列的1个蝶形
- ✓ 起始于第  $(v-2)$  列的2个蝶形
- ✓ 起始于第  $(v-3)$  列的4个蝶形

对于 $N=2^v$ 的一般情况，**每个输出节点与第 $m$ 列的 $2^{v-m-1}$ 个蝶形**相连。



# 9.7 有限寄存器长度的影响

## ◆ DFT算法蝶形输入加比例因子噪声模型特性 (续)

由于对于 $N=2^v$ 的一般情况, 各输出节点与第 $m$ 列的 $2^{v-m-1}$ 个蝶形相连,

即第 $m$ 列输出节点与 $2 \times 2^{v-m-1}$ 个噪声源相连, 因此, DFT的各输出的噪声方差为

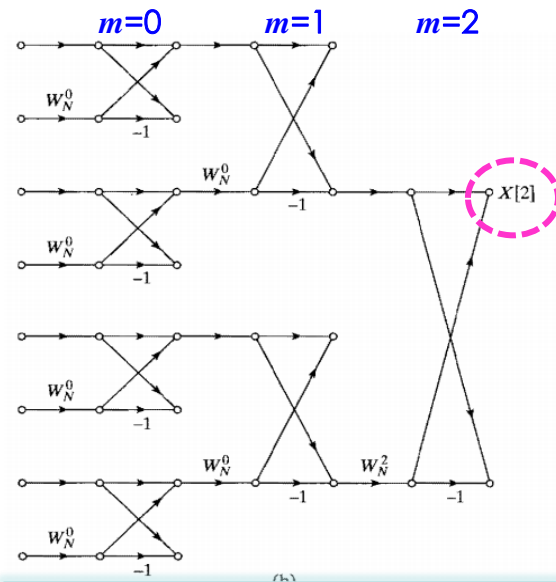
$$\begin{aligned} \mathcal{E} \left\{ |F[k]|^2 \right\} &= \sum_{m=0}^{v-1} \left( (1/2)^{v-m-1} \right)^2 \times 2 \times 2^{v-m-1} \sigma_P^2 \\ &= \sigma_B^2 \sum_{m=0}^{v-1} (1/2)^{v-m-2} = 4\sigma_B^2 (1 - 0.5^v) \end{aligned}$$

$N$ 较大时, 噪声方差可近似为

$$\mathcal{E} \left\{ |F[k]|^2 \right\} \approx 4\sigma_B^2 = \frac{4}{3} \cdot 2^{-2B}$$

则FFT输出噪声-信号比为

$$\mathcal{E} \left\{ |F[k]|^2 \right\} / \mathcal{E} \left\{ |X[k]|^2 \right\} = 4\sigma_B^2 / (N\sigma_x^2) = \frac{4}{3} \cdot 2^{-2B} / (1/3N) = 4N \cdot 2^{-2B}$$



对于各输出节点, 总共要经历 $v$ 级蝶形; 对于第 $m$ 级, 共有 $2^{v-m-1}$ 个蝶形; 每个蝶形有2个噪声源; 各噪声源到输出端需经历 $v-m-1$ 次 $1/2$ 衰减

要保持噪信比不变, 若 $N$ 增加1倍, 需位宽 $B$ 增加 $1/2$ 位